

# ФУНКЦИЯ РАСПРЕДЕЛЕНИЯ СЛУЧАЙНЫХ ПОЛЕЙ ВЗАИМОДЕЙСТВИЯ В НЕУПОРЯДОЧЕННЫХ МАГНЕТИКАХ. СПИНОВОЕ И МАКРОСПИНОВОЕ СТЕКЛО

*B. I. Белоконь\*, K. B. Нефедев \*\**

*Дальневосточный государственный университет  
690000, Владивосток, Россия*

Поступила в редакцию 27 февраля 2001 г.

В рамках модели Изинга методом усреднения по случайным полям взаимодействия исследуются системы с произвольной зависимостью обменного интеграла от расстояния между атомами, которые, в свою очередь, случайным образом рассеяны в аморфном веществе. Этот метод используется также для описания долговременной релаксации намагниченности в системе рассеянных в немагнитной матрице однодоменных частиц. Получены функции распределения случайных полей для диполь-дипольного взаимодействия и взаимодействия Рудермана–Киттеля–Касуи–Иосиды (РКИ). Исследован процесс долговременной релаксации в макроспиновых стеклах.

PACS: 75.50.Lk, 75.10.-b, 75.10.Nr, 75.30.Cr, 75.30.Hx

## 1. ВВЕДЕНИЕ

Принято считать [1–5], что наиболее характерными признаками спин-стекольного состояния являются необратимость и долговременная релаксация намагниченности, связанные с неэргодичностью фазы спинового стекла. Различные варианты построения физики таких систем используют предположения об иерархическом устройстве пространства долин, которые приводят к иерархической структуре времен релаксации. Теоретическое описание свойств спиновых стекол часто основывается на предположении о том, что обменные интегралы являются случайными величинами, подчиняющимися нормальному закону распределения. При этом большинство результатов получено для решеточных моделей, и их простой перенос на аморфные системы на первый взгляд представляется неправомерным.

В данной статье рассматривается возможность применения метода случайных полей взаимодействия к аморфным средам с произвольным законом взаимодействия частиц, также исследуются системы частиц с взаимодействием Рудермана–Киттеля–Касуи–Иосиды (РКИ) и диполь–дипольным

взаимодействием. Отдельно, без привлечения идей иерархической структуры состояний, рассматриваются необратимость и долговременная релаксация в системах взаимодействующих однодоменных частиц (макроспиновое стекло). Работа продолжает начатое в [6, 7] исследование возможности применения метода случайного поля в теории ферромагнетизма неоднородных систем.

## 2. ФУНКЦИЯ РАСПРЕДЕЛЕНИЯ СЛУЧАЙНОГО ПОЛЯ ВЗАИМОДЕЙСТВИЯ

Общая схема вычисления функции распределения случайных полей взаимодействия обсуждалась в литературе неоднократно [8–10]. Однако мы повторим основные моменты ее получения, учитывая собственный объем частиц. Пусть проекция поля  $H_i$  на ось  $z$  (ось симметрии в модели Изинга), созданного в начале координат одной произвольной частицей, находящейся в точке с координатой  $\mathbf{r}_i$  и имеющей спин  $\mathbf{S}_i$ , задается законом

$$H_i = \varphi(\mathbf{r}_i, \mathbf{S}_i). \quad (1)$$

При условии известного распределения частиц по  $\mathbf{r}_i$  и  $\mathbf{S}_i$  функция распределения поля взаимодействия

\*E-mail: belokon@ifit.phys.dvgu.ru

\*\*E-mail: nefedev@ifit.phys.dvgu.ru

на частице, находящейся в начале координат, является  $\delta$ -функцией вида

$$\delta[H_i - \sum_i \varphi(\mathbf{r}_i, \mathbf{S}_i)].$$

В свою очередь, вероятность заданного распределения частиц по координатам в аморфном теле с учетом собственного объема частицы определяется произведением

$$\frac{dV_1}{V} \frac{dV_2}{V - V_0} \cdots \frac{dV_N}{V - NV_0} \approx \frac{1}{v^N} \prod_{i=1}^N dV_i.$$

Здесь

$$\begin{aligned} \frac{1}{V^N} \prod_i \frac{1}{1 - iV_0/V} &\approx V^{-N} \prod_i \left(1 + i\frac{V_0}{V}\right) = \\ &= \frac{1}{V^N} \frac{(V_0/V)^{N+1} \Gamma(N+1+V/V_0)}{(V/V_0)\Gamma(1+V/V_0)}. \end{aligned}$$

При  $V/V_0 \gg 1$ , используя формулу Стирлинга, легко получить при  $N \rightarrow \infty$

$$\frac{1}{V^N} \prod_k \frac{1}{1 - kV_0/V} \approx \left(\frac{V}{1+c}\right)^N = \frac{1}{v^N},$$

$$c = \frac{NV_0}{V} \ll 1,$$

где  $V_0$  — собственный объем частицы, который, естественно, имеет смысл учитывать в системах со значительной концентрацией рассеянных ферромагнитных частиц.

Распределение частиц  $\prod_{i=1}^N \tau(\mathbf{S}_i)d\mathbf{S}_i$  по направлениям спинов в модели Изинга также предполагается независимым, при этом

$$\begin{aligned} \tau(\mathbf{S}_i) &= \frac{1}{S_i^2 \sin \gamma} \frac{1}{2\pi} \delta(S_i - S_0)[\alpha \delta(\gamma_i) + \beta \delta(\gamma_i - \pi)], \\ \alpha + \beta &= 1. \end{aligned}$$

С учетом приведенных выше формул функция распределения поля  $H$  может быть представлена в виде

$$W(H) = \frac{1}{v^N} \iint \delta\left(H - \sum_{i=1}^N \varphi_i\right) \prod_{i=1}^N \tau(\mathbf{S}_i)d\mathbf{S}_i dV_i. \quad (2)$$

Характеристическая функция

$$A(\rho) = \int W(H) \exp(i\rho H) dH$$

запишется так:

$$A(\rho) = \frac{1}{v^N} \int \exp\left(i\rho \sum_i \varphi_i\right) \prod_{i=1}^N \tau(\mathbf{S}_i)d\mathbf{S}_i dV_i.$$

Учитывая условия нормировки,  $A(\rho)$  можно переписать в виде

$$A(\rho) = \left\{1 - \frac{n^*}{N} \int [1 - \exp(i\rho\varphi)] \tau(\mathbf{S})d\mathbf{S}dV\right\}^N,$$

где

$$n^* = \frac{N}{V} = \frac{N(1+c)}{V} = n(1+c),$$

$n$  — число частиц в единице объема. В пределе при  $N \rightarrow \infty$  имеем

$$A(\rho) \rightarrow \exp\{-F(\rho)\}.$$

Таким образом, функция распределения случайных полей взаимодействия имеет вид

$$\begin{aligned} W(H) &= \int_{-\infty}^{\infty} \exp\{-F(\rho)\} \exp(-i\rho H) d\rho, \\ F(\rho) &= n^* \int dV \int [1 - \exp(i\rho\varphi)] \tau(\mathbf{S})d\mathbf{S} = \\ &= \alpha I_- + \beta I_+, \end{aligned} \quad (3)$$

где

$$I_{\mp} = n^* \int_V [1 - \exp(\mp i\rho\varphi)] dV.$$

Здесь учтена смена знака поля при повороте спина из направления  $\alpha$  (спин вверх) в направление  $\beta$  (спин вниз). Интегрирование в (5) следует проводить в пределах от  $r = r_0$  (размер частицы) до  $r = R$  (размер образца). При быстром убывании  $\varphi(r)$  можно перейти к пределу при  $R \rightarrow \infty$ , при медленном необходимо учитывать форму образца (размагничивающий фактор).

Структура  $F(\rho)$  такова, что основной вклад в интеграл (3) дают значения  $F(\rho)$ , близкие к нулю. Действительно,

$$F(\rho) = i(\alpha - \beta)H_0\rho - \frac{B^2}{4}\rho^2 + \dots, \quad (4)$$

где

$$H_0 = -n^* \int_V \varphi(r) dV, \quad \frac{B^2}{4} = \frac{n^*}{2!} \int_V \varphi^2(r) dV$$

и т. д., так что быстрые осцилляции подынтегрального выражения при  $\rho \gg 1$  приведут к существенному уменьшению вклада в интеграл.

Ограничиваюсь первыми тремя членами в разложении экспоненты, из формулы (5) получаем

$$A(\rho) = \exp \left[ -i(\alpha - \beta)H_0\rho - \frac{B^2}{4}\rho^2 \right], \quad (5)$$

откуда

$$W(H) = \frac{1}{\sqrt{\pi}B} \exp \left\{ -\frac{[H - H_0(\alpha - \beta)]^2}{B^2} \right\}. \quad (6)$$

### 3. САМОСОГЛАСОВАННОЕ УРАВНЕНИЕ ДЛЯ НАМАГНИЧЕННОСТИ

Очевидно, что в состоянии термодинамического равновесия среднее значение намагниченности в модели Изинга,  $M = \langle \bar{\alpha} - \bar{\beta} \rangle$ , получается усреднением по распределению Гиббса и по конфигурациям:

$$M = \int \operatorname{th} \left( \frac{mH}{kT} \right) W(H) dH, \quad (7)$$

где  $m$  — магнитный момент частицы. Таким образом, в отсутствие внешнего поля уравнение для намагниченности в состоянии равновесия будет иметь вид

$$M = \frac{1}{\sqrt{\pi}B} \int \operatorname{th} \left( \frac{m(H + H_0 M)}{kT} \right) \exp \left( -\frac{H^2}{B^2} \right) dH. \quad (8)$$

Простые оценки можно получить, заменив гауссову функцию распределения приближенной функцией  $f(H)$ :

$$f(H) = \begin{cases} 0, & H > B, \quad H < -B, \\ \frac{1}{2B}, & -B < H < B. \end{cases}$$

Для малых  $M$  в этом случае имеем

$$\begin{aligned} M &\approx \frac{1}{2B} \int_{-B}^B \operatorname{th} \left( \frac{m(H + H_0 M)}{kT} \right) dH \approx \\ &\approx M \frac{H_0}{B} \operatorname{th} \frac{mB}{kT}. \end{aligned} \quad (9)$$

Это означает, что уравнение (8) имеет отличное от нуля решение (ферростекло) при условии

$$\frac{H_0}{B} \operatorname{th} \frac{mB}{kT} > 1, \quad \frac{H_0}{B} > 1. \quad (10)$$

При  $H_0/B < 1$  начальная восприимчивость в поле  $h$  равна

$$\chi = \frac{\partial M}{\partial h} \approx \frac{1}{B} \operatorname{th} \frac{mB}{kT}. \quad (11)$$

Для высоких температур, при  $mB/kT \ll 1$ , имеем

$$\chi \approx \frac{m}{kT},$$

что соответствует парамагнитной восприимчивости. При  $mB/kT \gg 1$  величина

$$\chi \approx \frac{1}{B}$$

и не зависит от температуры. В этом случае происходит «замораживание» спинов в случайных полях обменного взаимодействия. Наибольшая скорость изменения восприимчивости имеет место при температуре  $T^* = mB/k$ ;  $T^*$  можно трактовать как температуру перехода в фазу спинового стекла.

### 4. РККИ-ВЗАИМОДЕЙСТВИЕ И СПИНОВОЕ СТЕКЛО

Применим этот подход к системе атомов, связанных РККИ-взаимодействием [11]

$$\varphi(r) = -b \frac{k_F r \cos(k_F r) - \sin(k_F r)}{(k_F r)^4}, \quad (12)$$

где  $b$  — некоторый коэффициент, имеющий размерность поля,  $k_F$  — импульс на поверхности Ферми,  $r$  — расстояние между взаимодействующими атомами. Интегрирование ведется в интервале от 1 до  $k_F R$ . В этом случае

$$\begin{aligned} I_{\mp} &= \frac{n^*}{k_F^3} \times \\ &\times \int_1^{k_F R} \int_0^{\pi} \int_0^{2\pi} \left\{ 1 - \exp \left( \mp i \rho b \frac{k_F r \cos(k_F r) - \sin(k_F r)}{(k_F r)^4} \right) \right\} \times \\ &\times (k_F r)^2 d(k_F r) \sin \vartheta d\vartheta d\varphi. \end{aligned}$$

После интегрирования для  $H_0$  и  $B^2$  получим следующие соотношения:

$$H_0 = -\frac{4\pi n^* b}{k_F^3} \frac{\sin(k_F R) - 0.84 k_F R}{k_F R},$$

$$\begin{aligned} B^2 &\approx \frac{4n^* b^2}{15k_F^8 R^5} \{ -5k_F^2 R^2 + 6k_F R \sin(2k_F R) - 3 + \\ &+ 3 \cos(2k_F R) - k_F^2 R^2 \cos(2k_F R) + \\ &+ k_F^3 R^3 \sin(2k_F R) + 2k_F^4 R^4 \cos(2k_F R) + \\ &+ 4k_F^5 R^5 \operatorname{Si}(2k_F R) - 3k_F^5 R^5 \}, \end{aligned}$$

где  $\text{Si}$  — интегральный синус. Переходя к пределу  $k_F R \rightarrow \infty$ , имеем

$$H_0 \approx 10 \frac{n^* b}{k_F^3}, \quad B^2 \approx 2.5 \frac{n^* b^2}{k_F^3}, \quad \frac{H_0}{B} \approx 6 \sqrt{\frac{n^*}{k_F^3}}.$$

Последнее соотношение с учетом (10) позволяет построить теоретическую магнитную фазовую диаграмму.

## 5. ДИПОЛЬ-ДИПОЛЬНОЕ ВЗАИМОДЕЙСТВИЕ В СИСТЕМЕ РАССЕЯННЫХ МАГНИТНЫХ ЗЕРЕН. МАКРОСПИНОВОЕ СТЕКЛО

Рассмотрим систему малых ферромагнитных частиц, рассеянных в немагнитной матрице. Функция распределения частиц по значениям магнитного момента имеет вид

$$\tau(\mathbf{m}) d\mathbf{m} = f(m) w(\gamma, \psi) d\gamma d\psi,$$

где углы  $\gamma, \psi$  задают ориентацию  $\mathbf{m}$  по отношению к выбранному направлению. При этом

$$\varphi = -\frac{m \cos \gamma}{r^3} + \frac{3m(\sin \gamma \cos \psi \sin \vartheta + \cos \gamma \cos \vartheta) \cos \vartheta}{r^3}.$$

В модели Изинга

$$w(\gamma, \psi) = \frac{1}{2\pi} \{ \alpha \delta(\gamma) + \beta \delta(\gamma - \pi) \}, \quad (13)$$

угол  $\vartheta$  определяет ориентацию вектора  $\mathbf{r}$  в сферической системе координат.

В случае, когда магнитный образец имеет не сферическую, а, например, эллипсоидальную форму, необходимо учесть зависимость  $R$  от  $\vartheta$ :

$$R(\vartheta) = \frac{b}{\sqrt{1+\epsilon b^2 \sin^2 \vartheta}} \approx b \left(1 + \frac{1}{2}\epsilon b^2 \sin^2 \vartheta\right)^{-1} \approx b \left(1 - \frac{1}{2}\epsilon b^2 \sin^2 \vartheta\right), \quad (14)$$

$b$  — большая полуось,  $\epsilon$  — эксцентриситет.

Параметры  $H_0$  и  $B^2$  функции распределения  $W(H)$  для системы дипольно-взаимодействующих магнитных частиц (ферро- или ферримагнитных зерен) можно приближенно получить, используя формулы (4):

$$H_0 \approx \frac{8}{15} \pi n^* \bar{m} \epsilon^2, \quad B^2 \approx \frac{4\pi}{r_0^3} n^* \bar{m}^2, \quad (15)$$

где  $\bar{m} = \int m f(m) dm$ ,  $r_0$  — размер магнитной частицы. В такой системе

$$\frac{H_0}{B} \approx 0.5 \epsilon^2 \sqrt{n^* r_0^3},$$

откуда следует, что  $H_0/B \approx 0.2\sqrt{c} < 1$  даже при  $\epsilon \approx 1$  (напомним, что  $c$  — объемная концентрация ферромагнетика).

Таким образом, ферромагнитное упорядочение за счет диполь-дипольного взаимодействия в аморфном веществе невозможно. Подобный результат для частиц, расположенныхных в узлах кубической решетки, получен в работе [12].

В то же время переход в спин-стекольное состояние (макроспиновое стекло) при температуре  $T^* \sim \bar{m}B/k$  возможен, если время релаксации, которое в первую очередь зависит от критического поля и объема ферромагнитной частицы, достаточно мало. Поскольку система однодоменных частиц позволяет наглядно интерпретировать явление долговременной релаксации в макроспиновом стекле, рассмотрим переход в равновесное состояние более подробно.

Для анализа магнитных свойств такой системы прежде всего необходимо знать их распределение по магнитным моментам  $m$  и критическим полям перемагничивания  $H_c$ . Поле перемагничивания однодоменной частицы определяется ее формой (для сильномагнитных материалов), кристаллографической анизотропией и анизотропией напряжений, которые неизбежно должны возникать при взаимодействии частицы с немагнитной матрицей. Для одноосной частицы условие перемагничивания состоит в следующем:

$$|\mathbf{H} + \mathbf{h}| (\sin^{2/3} \theta + \cos^{2/3} \theta)^{-3/2} > H_c,$$

где  $\theta$  — угол между полем  $\mathbf{H} + \mathbf{h}$  и легкой осью,  $\mathbf{H}$  — случайное поле взаимодействия,  $\mathbf{h}$  — внешнее приложенное поле.

Для малых по сравнению с  $H_c$  полей  $h$  эти соотношения приближенно могут быть записаны в виде

$$h > H_c - H, \quad \text{если} \quad \cos(\mathbf{h}, \mathbf{H}) > 0, \quad (16)$$

$$h > H_c + H, \quad \text{если} \quad \cos(\mathbf{h}, \mathbf{H}) < 0. \quad (17)$$

В соответствии с этим для каждой частицы из подмножества (16) индивидуальная петля гистерезиса будет характеризоваться полями  $a = H_c - H$  и  $b = H_c + H$ , а из подмножества (17) — полями  $a = H_c + H$ ,  $b = H_c - H$ . При известном распределении частиц по модулю поля взаимодействия,  $g(H)$ ,

которое можно получить, зная  $W(H)$ , легко вычислить плотность числа частиц на фазовой диаграмме  $(a, b)$  Прейзаха–Нееля [13]. Условие нормировки для частиц подмножества (16) выглядит так:

$$\iint_0^\infty f(H_c) \gamma(H) dH_c dH = \frac{1}{2}.$$

Переходя к новым переменным  $a = H_c - H$ ,  $b = H_c + H$ , получим

$$\int_0^\infty \int_{2H_c-b}^\infty f\left(\frac{a+b}{2}\right) \gamma\left(\frac{b-a}{2}\right) \Delta(a, b) da db = \frac{1}{2},$$

где якобиан  $\Delta(a, b) = 1/2$ . Таким образом,

$$p(a, b) = \frac{1}{2} f\left(\frac{a+b}{2}\right) \gamma\left(\frac{b-a}{2}\right)$$

является плотностью точек на диаграмме Прейзаха–Нееля, соответствующих частицам с критическими полями  $a, b$ . Ось  $a = b$  является осью симметрии, поэтому в дальнейшем можно ограничиться рассмотрением области  $a > b$ .

## 6. ДОЛГОВРЕМЕННАЯ РЕЛАКСАЦИЯ И НЕОБРАТИМОСТЬ

Оценка времени релаксации для однодоменных одноосных частиц, имеющих элементарный гистерезисный цикл с критическими полями  $a$  и  $b$  и помещенных во внешнее поле  $h$  ( $h < a, b$ ), основывается на том, что вероятность флюктуации определяется минимальной работой, которую следует затратить для того, чтобы повернуть магнитный момент на угол, необходимый для дальнейшего самопроизвольного необратимого переброса. Если  $h \ll a, b$ , время релаксации определяется приближенной формулой

$$\frac{1}{\tau_{a,b}} = f_0 \times \times \left\{ \exp\left[-\frac{m(a-h)}{2kT}\right] + \exp\left[-\frac{m(a+h)}{2kT}\right] \right\}, \quad (18)$$

$f_0 \sim 10^{10}-10^{12}$  — частотный фактор.

Уравнение (18) определяет линии равного времени релаксации на фазовой диаграмме Прейзаха–Нееля  $(a, b)$ . Легко видеть, что в процесс установления равновесия постепенно вовлекаются частицы со всеми большими  $a$  и  $b$ . Возрастание времени релаксации на порядок соответствует изменению  $a$  ( $b$ ) на величину

$$\Delta a = \frac{\ln 10}{\alpha}, \quad \alpha = \frac{m}{2kT}.$$

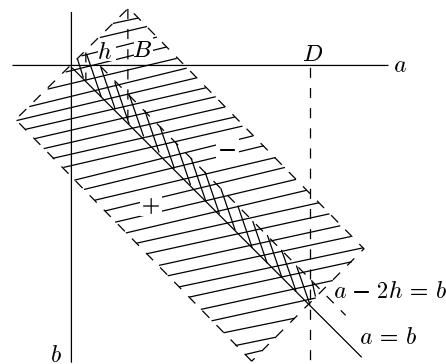


Рис. 1. Диаграмма Прейзаха–Нееля  $(a, b)$

Естественно, что разброс частиц по критическим полям и объемам приводит к долговременной релаксации и процесс установления равновесия в системе в принципе может не закончиться в разумное время. В самом деле, если

$$\ln(f_0 \tau) \sim \frac{ma}{2kT}$$

и  $\tau \sim 1$ , то при увеличении  $m$  или  $a$  в два раза время релаксации увеличивается до  $\tau \approx 10^{10}$  с при  $f_0 \approx 10^{10}$  с<sup>-1</sup>.

Принципиально важным является вопрос о возможности независимого установления равновесия в подсистеме частиц с различными значениями  $a$  и  $b$ , поскольку в этом случае можно достаточно просто рассчитать магнитную восприимчивость, остаточную намагниченность и другие характеристики системы в ситуации, когда в целом она еще далека от равновесия. Для упрощения расчетов будем предполагать, что функция  $p(a, b) = p$  постоянна в области, заштрихованной на рис. 1,  $B$  по порядку величины совпадает с максимальными полями взаимодействия,  $D$  — максимальные критические поля частиц в системе. Условие нормировки состоит в следующем:

$$2pBD = N/2.$$

В качестве начальных условий будем рассматривать систему в так называемом нулевом состоянии, которое достигается воздействием убывающего по амплитуде от  $\tilde{h}_{max} > D$  до нуля переменного поля  $\tilde{h}$ . При этом все частицы, которые на фазовой диаграмме изображаются в области  $a > b$ , окажутся в состоянии, намагниченном в условно отрицательном направлении, а в области  $a < b$  — в положительном. Суммарный магнитный момент равен нулю. После выключения поля будет постепенно происходить процесс установления термодинами-

ческого равновесия, который на диаграмме  $(a, b)$  будет отображаться появлением положительно намагниченных частиц, критические поля которых соответствуют области  $a > b$ , и отрицательно намагниченных (область  $a < b$ ) при сохранении общего нулевого магнитного момента системы. Для частиц с заданным магнитным моментом  $m$  ко времени  $t$  такой процесс займет область

$$a, b \lesssim \frac{2kT}{m} \ln(f_0 t). \quad (19)$$

Для частиц с критическими полями  $a$  и  $b$ ,  $a > b$  степень «перемешивания» знаков « $-$ » и « $+$ » определяется вероятностями перехода:

$$\frac{n_+}{n_-} = \frac{e^{-\alpha a}}{e^{-\alpha b}}.$$

Очевидно, в области  $b > a$  в силу симметрии относительно линии  $a = b$  аналогичное перемешивание приведет к компенсации появившегося магнитного момента.

При включении внешнего поля  $h$  линия симметрии смешена в область  $a - h = b + h$ , т. е. компенсация нарушается. В количественном отношении результат эквивалентен смене знака магнитного момента частиц, изображающие точки которых расположены в области, обозначенной на рис. 1 штриховкой в двух направлениях,

$$h < a < \frac{1}{\alpha} \ln(f_0 t), \quad a - 2h \leq b \leq a.$$

Это обстоятельство, на наш взгляд, чрезвычайно важно, так как в процессе образования намагниченности в малом поле  $h$  принимает участие лишь некоторая малая доля частиц ( $h/B$ ), причем именно тех частиц, поля взаимодействия которых близки к нулю и, соответственно, изменение ориентации магнитного момента которых слабо влияет на состояние всей системы в целом.

Таким образом, для малых полей

$$h \ll \frac{1}{\alpha} \ln(f_0 t)$$

за счет термических флуктуаций возникает дополнительный магнитный момент

$$M_v = 4mph \left[ \frac{1}{\alpha} \ln(f_0 t) - h \right] \approx \frac{4mph}{\alpha} \ln(f_0 t). \quad (20)$$

Насыщение при заданном значении  $\alpha$  будет достигнуто, если

$$\frac{1}{\alpha} \ln(f_0 t) \approx D.$$

К моменту  $t^*$  первого измерения, который определяется возможностями эксперимента, имеем

$$M^* = M_0 + 4mph \left[ \frac{1}{\alpha} \ln(f_0 t^*) - h \right], \quad (21)$$

$$M_0 = mph^2.$$

Относительно высокое значение  $M_0$  возможно в том случае, если существуют частицы с достаточно большим магнитным моментом (большим значением  $\alpha_0$ ), таким что

$$\frac{1}{\alpha_0} \ln(f_0 t^*) < h. \quad (22)$$

Поскольку нас в основном интересует долговременная релаксация, будем в дальнейшем полагать  $M_0 \ll M_v \equiv M$ .

Рассмотрим теперь температурную зависимость магнитной восприимчивости  $\partial M / \partial h = \chi$ ,

$$\chi = \frac{4mp}{\alpha} \ln(f_0 t) = \frac{kT}{4} \frac{N}{BD} \ln(f_0 t^*) =$$

$$= \frac{N \ln(f_0 t^*) kT}{4BD}, \quad (23)$$

при условии, что

$$\frac{1}{\alpha(T)} \ln(f_0 t^*) < D(T), \quad B(T) < h. \quad (24)$$

При дальнейшем повышении температуры возможны два сценария изменения восприимчивости.

1. При некоторой температуре  $T = T_B$  величина  $B(T_B)$  становится равной  $h$ , но при этом

$$\frac{1}{\alpha(T_B)} \ln(f_0 t^*) < D(T_B).$$

В этом случае при  $T > T_B$  восприимчивость растет, так как

$$\chi = \frac{N \ln(f_0 t^*) kT}{4hD(T)}, \quad D(T) \rightarrow 0 \quad \text{при} \quad T \rightarrow T_C,$$

$T_C$  — точка Кюри. При достижении температуры  $T_D$ , при которой

$$\frac{1}{\alpha T_D} \ln(f_0 t^*) = D(T_D),$$

восприимчивость достигает максимального значения, поскольку все частицы «включены» в процесс:

$$\chi_{max} = m(T_D) \frac{N}{h}.$$

Дальнейшее уменьшение  $\chi$  при уменьшении  $T > T_D$  связано с уменьшением  $m$  при  $T \rightarrow T_C$ .

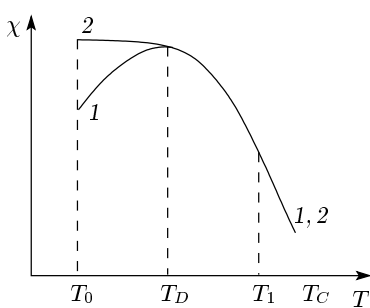


Рис. 2. Теоретическая кривая зависимости восприимчивости от температуры: 1 — режим охлаждения без поля; 2 — режим охлаждения в поле

2.  $T_D < T_B$ . В этом случае при  $T = T_D$

$$\chi = \frac{m(T_D)N}{2B(T_D)},$$

$\chi$  остается постоянной до температуры  $T = T_B$  ( $B(T_B) = h$ ) и далее уменьшается вместе с  $m(T)$ . В общих чертах поведение восприимчивости как функции температуры отражено на рис. 2. Эти формулы остаются справедливыми и при охлаждении, если это охлаждение происходит в отсутствие поля. Если же поле не выключается, частицы, магнитные моменты которых блокируются при охлаждении, даже после «выхода» соответствующих точек диаграммы  $(a, b)$  из области  $a - 2h \leq b \leq a$  сохраняют магнитный момент, увеличивая тем самым восприимчивость. Поскольку доля частиц, принимающих участие в намагниченности при данной температуре  $T$ , приближенно равна отношению  $h/B(T)$ , усредняя это отношение при охлаждении от  $T$  до  $T_0$  в поле  $h$ , получим

$$\left\langle \frac{h}{B(T)} \right\rangle = \frac{1}{T_1 - T_0} \int_{T_0}^{T_1} \frac{h}{B(T)} dT > \frac{h}{B(T_0)}.$$

В простейшем случае, когда

$$\frac{B(T)}{B(T_0)} = \sqrt{\frac{T_C - T}{T_C - T_0}},$$

$$\begin{aligned} \left\langle \frac{h}{B} \right\rangle &= \frac{1}{T_1 - T_0} \int_{T_0}^{T_1} \frac{h}{B(T)} dT = \\ &= \frac{h}{T_1 - T_0} \int_{T_0}^{T_1} \frac{dT}{B(T_0)} \sqrt{\frac{T_C - T_0}{T_C - T}} = \end{aligned}$$

$$= \frac{2h}{B(T_0)} \frac{T_C - T_0}{T_1 - T_0} \left( 1 - \sqrt{\frac{T_C - T_1}{T_C - T_0}} \right),$$

при  $T_1$ , близком к  $T_C$ , имеем

$$\left\langle \frac{h}{B} \right\rangle \approx \frac{2h}{B(T_0)}.$$

Таким образом, в отношении необратимости и долговременной релаксации система магнитостатически взаимодействующих однодоменных частиц иллюстрирует свойства, присущие спиновому стеклу. По-видимому, аналогичными свойствами должно обладать и кластерное спиновое стекло, в котором взаимодействие между магнитными моментами включений осуществляется, например, посредством косвенного обмена РККИ [14]. Заметим, что широкий спектр времен релаксации в этом случае обусловлен распределением частиц по критическим полям и объемам, а установление равновесия во всех подсистемах с равными временами релаксации предполагается независимым.

Однако даже для одинаковых частиц с критическими полями  $H_c$  и временами релаксации  $\tau_0$  такими, что

$$\frac{1}{\tau_0} = 2f_0 \exp\left(-\frac{mH_c}{2kT}\right),$$

«включение» взаимодействия приведет к появлению спектра времен релаксации в интервале от  $\tau_0 / \text{ch}(mB/2kT)$  до  $\tau_0$ , что легко увидеть из соотношения (18).

## 7. ВЫВОДЫ

1. Функция распределения случайных полей взаимодействия в аморфном веществе в модели Изинга представляет собой функцию Гаусса, математическое ожидание  $H_0$  и дисперсия  $D$  которой зависят от закона межчастичного взаимодействия в соответствии с выражением (4). Отношение  $H_0/D$  определяет тип упорядочения (парамагнетизм, спиновое стекло, ферростекло).

2. Диполь-дипольное взаимодействие в аморфном веществе не приводит к упорядочению типа ферростекло или ферромагнетизм.

3. Долговременная релаксация и необратимость намагниченности в малых полях в системе взаимодействующих однодоменных частиц обнаруживают спин-стекольное поведение даже в предположении независимости перехода в равновесное состояние каждой из подсистем с определенным временем релаксации.

Авторы выражают благодарность Л. Л. Афремову за полезные советы и замечания. Работа выполнена при финансовой поддержке Министерства образования РФ (грант 97-0-13.1-3).

## ЛИТЕРАТУРА

1. D. S. Fisher and D. A. Huse, Phys. Rev. B **38**, 373 (1988).
2. С. Л. Гинзбург, *Необратимые явления в спиновых стеклах*, Наука, Москва (1989), с. 149.
3. И. Я. Коренблит, Е. Ф. Шендер, УФН **157**, 267 (1989).
4. В. С. Доценко, УФН **160**, 1 (1993).
5. T. Jonsson, K. Jonason, and P. Norblad, Phys. Rev. B **59**, 9402 (1999).
6. В. И. Белоконь, С. В. Сёмкин, ЖЭТФ **102**, 1254 (1992).
7. В. И. Белоконь, С. В. Сёмкин, ЖЭТФ **104**, 3784 (1993).
8. В. П. Щербаков, В. В. Щербакова, Изв. АН СССР, сер. Физика Земли **9**, 101 (1975).
9. Д. В. Берков, С. В. Мешков, ЖЭТФ **94**, 140 (1988).
10. В. И. Белоконь, Изв. АН СССР, сер. Физика Земли **11**, 106 (1980).
11. Г. С. Кринчик, *Физика магнитных явлений*, Мир, Москва (1983), с. 302.
12. Е. З. Мейлихов, ЖЭТФ **117**, 1136 (2000).
13. В. И. Белоконь, Изв. АН СССР, сер. Физика Земли **21**, 123 (1985).
14. И. В. Золотухин, Ю. Е. Калинин, УФН **160**, 75 (1990).